

## МАГНИТНО-АБРАЗИВНАЯ ОБРАБОТКА СТЕРЖНЕВОГО СЛОЖНОПРОФИЛЬНОГО ИНСТРУМЕНТА

Л.М. Акулович, докт. техн. наук, профессор, Л.Е. Сергеев, канд. техн. наук, доцент,  
В.Е. Бабич, канд. техн. наук, Е.В. Сенчурев, ассистент, В.В. Шабуня, аспирантка (БГАТУ)

### Аннотация

*Приведены результаты теоретического и экспериментального исследования топографии магнитного поля при магнитно-абразивной обработке стержневого сложнопрофильного инструмента, определены технологические параметры и режимы обработки.*

*The results of theoretical and experimental study of the topography of the magnetic field in magnetic abrasive machining of multi-core tool are given, process parameters and modes of treatment are defined.*

### Введение

В машиностроении широко применяют высокопроизводительные процессы изготовления деталей холодным деформированием. В качестве инструментов для осуществления этих процессов используется стержневой инструмент, как правило, сложного профиля (пуансоны), отличающегося от цилиндрического. Установлено [1], что основными причинами выхода из строя пуансонов являются: адгезия контактной части материала пуансона к материалу обрабатываемой поверхности (30%), деформация (35%) и скальвание рабочей части пуансона (35%). При этом практика показывает, что на долговечность пуансонов существенное влияние оказывает качество их рабочих поверхностей.

Показатели качества поверхности стержневого инструмента формируются в процессе изготовления, в основном на заключительных операциях, и поэтому этим операциям в технологических процессах должно уделяться особое внимание. Форма сложнопрофильного пуансона предопределила в качестве отделочной операции полирование. Наибольшее применение получило полирование на настольношлифовальных бабках (НШ-01) с ручной подачей наждачной шлифовальной бумаги (ГОСТ 5009-82 М40) к обрабатываемой поверхности. Качество поверхности при такой обработке зависит от квалификации рабочего. Поэтому недостатком полирования является низкая производительность и высокий процент брака (до 10%) [1].

Для обработки инструментов со сложным профилем рабочей части наиболее эффективными являются способы, основанные на использовании эластичной связки абразивных частиц. После проведения анализа отечественных и зарубежных источников, установлено, что одним из таких способов является технология магнитно-абразивной обработки (МАО) [1-4], обеспечивающая высокое качество рабочей поверхности. Согласно [3, 4], при использовании МАО была решена задача финишной обработки внутренних поверхностей колец прецизионных подшипников и удаление заусенцев после механической обработки ступенчатых длинномерных валов. При МАО режущим инструментом является ферроабразивный поро-

шок (ФАП), который находится в рабочем зазоре в подвижно-координированном состоянии. Роль связи между абразивными зернами выполняет магнитное поле, обладающее упругими силами воздействия на зерна порошка (рис. 1).

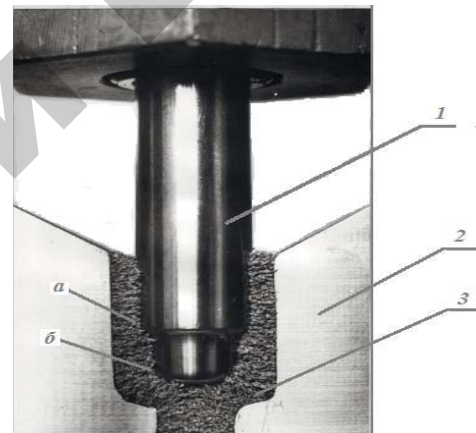


Рисунок 1. Зона МАО пуансона:  
1 – пуансон; 2 – полюсный наконечник; 3 – ферро-  
абразивная щетка; а, б – исследуемые участки

Однако технологические закономерности распределения магнитных потоков при обработке стержневого инструмента сложного профиля недостаточно изучены, что не позволяет обеспечить равномерную обработку поверхности и сдерживает применение этого способа при обработке пуансонов. Интенсивность МАО зависит от того, как сформируется рабочая среда в виде ФАП и смазочно-охлаждающих технологических средств (СОТС) и как силы магнитного поля воздействуют на нее [5]. В связи с этим, для интенсификации МАО поверхностей сложного профиля необходимо знать топографию магнитного поля в рабочем зазоре, произвести ее формирование и осуществить процесс управления параметрами магнитного поля. В соответствии с этим, в данной работе поставлены и решены следующие задачи: исследовать топографию магнитного поля в рабочем зазоре для различных составов ФАП; исследовать изменение топографии магнитного поля при различной степени

заполнения рабочей зоны ФАП; исследовать зависимость производительности МАО и шероховатости обработанной поверхности от времени обработки.

### Основная часть

В настоящей работе приводится вариант построения и анализа топографии магнитного поля при МАО поверхностей сложного профиля, заключающийся в разработке математической модели на основе матричного представления уравнений Максвелла с учетом физических явлений, сопровождающих процесс МАО, и сопоставление этой модели с полученными экспериментальными данными.

На основе обобщения эмпирических данных, Дж. К. Максвеллом были сформулированы фундаментальные уравнения классической макроскопической электродинамики, описывающие электромагнитные явления, имеющие в современных обозначениях (система СИ) вид [6, 7]:

$$\begin{aligned}\vec{B} &= \operatorname{rot} \vec{A}, \operatorname{rot} \vec{H} = 4\pi \vec{j} + \frac{\partial \vec{D}}{\partial t}, \\ \vec{E} &= -[\vec{B}, u] - \frac{\partial \vec{A}}{\partial t} - \operatorname{grad} \varphi, \quad \vec{E} = \frac{4\pi}{\varepsilon} \vec{D}, \\ \sigma \vec{E} &= \vec{j}, \vec{j}_{\text{полн}} = \vec{j} + \frac{1}{4\pi} \frac{\partial \vec{D}}{\partial t}, \\ \operatorname{div} \vec{D} &= 4\pi \rho, \operatorname{div} \vec{j} + \frac{\partial \rho}{\partial t} = 0\end{aligned}$$

где  $\vec{B}$  – магнитная индукция магнитного поля;  $\vec{H}$  – напряженность магнитного поля;  $\vec{E}$  – напряженность электрического поля;  $\vec{D}$  – электрическое смещение;  $\vec{A}$  – векторный магнитный потенциал;  $\varphi$  – скалярный магнитный потенциал;  $\vec{j}$  – плотность электрического тока;  $\rho$  – плотность электрического заряда;  $\varepsilon$  – относительная диэлектрическая проницаемость;  $u$  – мгновенное значение напряжения индукции;  $\sigma$  – удельная проводимость.

На сегодняшний день основной формой представления системы уравнений Максвелла является дифференциальная форма, предложенная Г. Герцем и О. Хевисайдом [6, 7]:

$$\begin{aligned}\operatorname{rot} \vec{E} &= -\frac{\partial \vec{B}}{\partial t}, \quad \operatorname{rot} \vec{H} = \frac{\partial \vec{D}}{\partial t} + \vec{j} + \vec{j}^{\text{cm}}, \\ \operatorname{div} \vec{D} &= \rho + \rho^{\text{cm}}, \quad \operatorname{div} \vec{B} = 0.\end{aligned}$$

Используя математические преобразования для векторов  $\vec{E}$  и  $\vec{H}$ , определяем  $\vec{D}$  и  $\vec{B}$  через тензоры электрической и магнитной проницаемости [6, 7]:

$$\begin{aligned}D_{x_1} &= \varepsilon_{x_1 x_1} E_{x_1} + \varepsilon_{x_1 x_2} E_{x_2} + \varepsilon_{x_1 x_3} E_{x_3}, \\ D_{x_2} &= \varepsilon_{x_2 x_1} E_{x_1} + \varepsilon_{x_2 x_2} E_{x_2} + \varepsilon_{x_2 x_3} E_{x_3}, \\ D_{x_3} &= \varepsilon_{x_3 x_1} E_{x_1} + \varepsilon_{x_3 x_2} E_{x_2} + \varepsilon_{x_3 x_3} E_{x_3}, \\ B_{x_1} &= \mu_{x_1 x_1} H_{x_1} + \mu_{x_1 x_2} H_{x_2} + \mu_{x_1 x_3} H_{x_3},\end{aligned}$$

$$B_{x_2} = \mu_{x_2 x_1} H_{x_1} + \mu_{x_2 x_2} H_{x_2} + \mu_{x_2 x_3} H_{x_3},$$

$$B_{x_3} = \mu_{x_3 x_1} H_{x_1} + \mu_{x_3 x_2} H_{x_2} + \mu_{x_3 x_3} H_{x_3}.$$

Рассмотрим следующую задачу. Имеется стационарный магнитопровод с магнитной проницаемостью  $\mu_2$ . В магнитопроводе сделан разрез для создания рабочего зазора с оппозитным расположением границ  $f(x_1)$  и  $g(x_1)$ , соответственно (рис. 2). Среда в разрезе имеет относительную магнитную проницаемость  $\mu_1$ .

Считая относительную магнитную проницаемость в магнитопроводе и разрезе однородной, рассмотрим уравнение Максвелла для стационарных

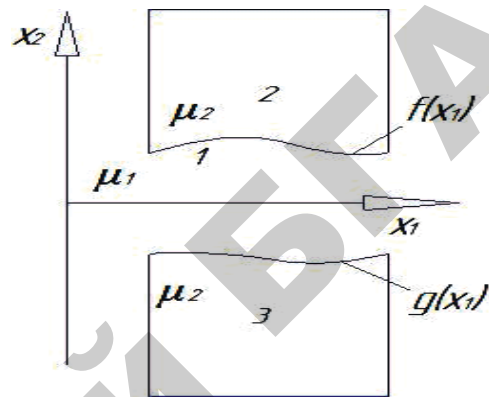


Рисунок 2. Схема магнитопровода с разрезом сложного профиля

полей как двухмерную задачу путем использования явного вида матрицы-столбца  $\Phi$ :

$$\partial \xi^1 \Phi_{12} + \partial \xi^2 \Phi_{12} = 0, \quad (1)$$

где  $\xi^1$ ,  $\xi^2$  – матрицы следующего вида:

$$\begin{aligned}\xi^1 &= \begin{pmatrix} 0^4 & \gamma^1 \\ -\gamma^1 & 0^4 \end{pmatrix}, \quad \xi^2 = \begin{pmatrix} 0^4 & \gamma^2 \\ \gamma^2 & 0^4 \end{pmatrix}, \quad 0^4 = \begin{pmatrix} 0^2 & 0^2 \\ 0^2 & 0^2 \end{pmatrix}, \\ \gamma^1 &= \begin{pmatrix} 0^2 & \alpha^1 \\ -\alpha^1 & 0^2 \end{pmatrix}, \quad \gamma^2 = \begin{pmatrix} \alpha^2 & 0^2 \\ 0^2 & -\alpha^2 \end{pmatrix}, \quad 0^2 = \begin{pmatrix} 0 & 0 \\ 0 & 0 \end{pmatrix}, \\ \alpha^1 &= \begin{pmatrix} 0 & 1 \\ 1 & 0 \end{pmatrix}, \quad \alpha^2 = \begin{pmatrix} -1 & 0 \\ 0 & 1 \end{pmatrix}.\end{aligned}$$

Следуя алгебраическому методу разделения переменных,  $\Phi_{12}$  представим в виде произведения матриц от соответствующих переменных:

$$\Phi_{12} = \Phi_1 \Phi_2, \quad (2)$$

для которых справедливы следующие соотношения:

$$\Phi_1 = \Phi_1^k + \Phi_1^a, [\Phi_1^k, \xi^2] = 0, [\Phi_1^k, \xi^2]^+ = 0, \quad (3)$$

$$\Phi_2 = \Phi_2^k + \Phi_2^a, [\Phi_2^k, \xi^1] = 0, [\Phi_2^k, \xi^1]^+ = 0, \quad (4)$$

$$[\Phi_1, \Phi_2] = 0. \quad (5)$$

С учетом формул (3, 4), путем дифференцирования, уравнения Максвелла в матричной формулировке приобретают вид:

$$\partial \xi^1 \Phi_1 = \Phi_1 K_{12} \partial \xi^2 \Phi_2 = \Phi_2 K_{12}. \quad (6)$$

Полагая электрическую составляющую поля постоянной, получаем частное решение уравнения:

$$\Phi = \begin{bmatrix} 0 \\ 0 \\ 0 \\ 0 \\ 0 \\ H_{0y} + \{C_{11} \sin(\lambda x_1) + C_{12} \cos(\lambda x_1)\} \{C_{21} e^{\lambda x_2} + C_{22} e^{-\lambda x_2}\} \\ H_{0x} + \{-C_{12} \sin(\lambda x_1) + C_{11} \cos(\lambda x_1)\} \{C_{21} e^{\lambda x_2} - C_{22} e^{-\lambda x_2}\} \\ 0 \end{bmatrix}. \quad (7)$$

Здесь  $\lambda$  представляет собой константу разделения сред.

Направим ось  $x_2$  вдоль центральной линии магнитопровода, и пусть границы зазора (верхняя и нижняя) задаются функциями  $f(x_1)$  и  $g(x_1)$  соответственно. Поле на  $i$ -той границе внутри ограниченной ими области в векторной форме можно описать следующим образом:

$$H_i^i = H_n^i(x_1) \sin(\alpha) + H_\tau^i(x_1) \cos(\alpha) = \rho_i(x_1) \frac{f'_i(x_1)}{\sqrt{1+f'_i(x_1)^2}} + q_i(x_1) \frac{1}{\sqrt{1+f'_i(x_1)^2}}, \quad (8)$$

$$H_2^i = H_n^i(x_1) \cos(\alpha) + H_\tau^i(x_1) \sin(\alpha) = \rho_i(x_1) \frac{1}{\sqrt{1+f'_i(x_1)^2}} + q_i(x_1) \frac{f'_i(x_1)}{\sqrt{1+f'_i(x_1)^2}}. \quad (9)$$

Причем, справедливы соотношения в комплексной форме на основании инвариантности уравнений:

$$F(-x_1 + ix_2) = \frac{H_2(x_1, x_2) - iH_1(x_1, x_2)}{2},$$

$$G(x_1 + ix_2) = \frac{H_2(x_1, x_2) + iH_1(x_1, x_2)}{2}. \quad (10)$$

Определяя  $F(-x_1 + ix_2)$ ,  $G(x_1 + ix_2)$  на  $i$ -той границе через нормальные составляющие поля, получим:

$$F_i(-x_1 + if_i(x_1)) = \frac{1}{2} \left[ \rho_i(x_1) \frac{1}{\sqrt{1+f'_i(x_1)^2}} + q_i(x_1) \frac{f'_i(x_1)}{\sqrt{1+f'_i(x_1)^2}} - i\rho_i(x_1) \frac{f'_i(x_1)}{\sqrt{1+f'_i(x_1)^2}} - iq_i(x_1) \frac{1}{\sqrt{1+f'_i(x_1)^2}} \right],$$

$$G_i(x_1 + if_i(x_1)) = \frac{1}{2} \left[ \rho_i(x_1) \frac{1}{\sqrt{1+f'_i(x_1)^2}} + q_i(x_1) \frac{f'_i(x_1)}{\sqrt{1+f'_i(x_1)^2}} + i\rho_i(x_1) \frac{f'_i(x_1)}{\sqrt{1+f'_i(x_1)^2}} + iq_i(x_1) \frac{1}{\sqrt{1+f'_i(x_1)^2}} \right].$$

Опустив достаточно громоздкие вычисления для поля внутри разрыва магнитопровода, напряженность магнитного поля представим в виде:

$$\tilde{H}_1(x_1, x_2) = \sum_{\lambda=-\infty}^{\infty} \left\{ i\tilde{C}_{\lambda 1} e^{\lambda(-x_1+ix_2)} + \tilde{C}_{\lambda 4} e^{-i\lambda(-x_1+ix_2)} - i\tilde{C}_{\lambda 2} e^{\lambda(x_1+ix_2)} - i\tilde{C}_{\lambda 3} e^{-i\lambda(x_1+ix_2)} \right\} =$$

$$= i\tilde{F}(-x_1 + ix_2) - i\tilde{G}(x_1 + ix_2),$$

$$\tilde{H}_2(x_1, x_2) = \sum_{\lambda=-\infty}^{\infty} \left\{ \tilde{C}_{\lambda 1} e^{\lambda(-x_1+ix_2)} + \tilde{C}_{\lambda 4} e^{-\lambda(-x_1+ix_2)} + \tilde{C}_{\lambda 2} e^{\lambda(x_1+ix_2)} + \tilde{C}_{\lambda 3} e^{-\lambda(x_1+ix_2)} \right\} =$$

$$= \tilde{F}(-x_1 + ix_2) - \tilde{G}(x_1 + ix_2), \quad (11)$$

где

$$\tilde{F}(-x_1 + ix_2) = \sum_{\lambda=-\infty}^{\infty} \left\{ \tilde{C}_{\lambda 1} e^{\lambda(-x_1+ix_2)} + \tilde{C}_{\lambda 4} e^{-\lambda(-x_1+ix_2)} \right\},$$

$$\tilde{G}(x_1 + ix_2) = \sum_{\lambda=-\infty}^{\infty} \left\{ \tilde{C}_{\lambda 2} e^{\lambda(x_1+ix_2)} + \tilde{C}_{\lambda 3} e^{-\lambda(x_1+ix_2)} \right\}$$

В качестве исходных материалов применялись ФАП: 1 –  $Fe - TiC$ ; 2 –  $Fe - Al_2O_3$ ; 3 –  $Fe - Al_2O_3 + (Ni-Co)$ . Согласно произведенным расчетам по вышеуказанной методике для рабочей зоны по обработке пuhanсонов способом МАО, установлено, что величина напряженности для участка *a* (рис. 1) составляет 115 А/м, для участка *b* (рис. 1) – 104 А/м. Поскольку  $\mu_0$  – абсолютная магнитная проницаемость ФАП 1 –  $Fe - TiC$   $\mu_0 = 9,8 \text{ мкГ/м}$ ; 2 –  $Fe - Al_2O_3$   $\mu_0 = 7,8 \text{ мкГ/м}$ ; 3 –  $Fe - Al_2O_3 + (Ni-Co)$   $\mu_0 = 8,6 \text{ мкГ/м}$  [2], то результаты показывают, что величина магнитной индукции должна составлять на участке *a* для порошков: 1 –  $Fe - TiC$   $B = 1,127 \text{ Тл}$ ; 2 –  $Fe - Al_2O_3$   $B = 0,897 \text{ Тл}$ ; 3 –  $Fe - Al_2O_3 + (Ni-Co)$   $B = 0,989 \text{ Тл}$ ; на участке *b*: 1 –  $Fe - TiC$   $B = 1,019 \text{ Тл}$ ; 2 –  $Fe - Al_2O_3$   $B = 0,811 \text{ Тл}$ ; 3 –  $Fe - Al_2O_3 + (Ni-Co)$   $B = 0,894 \text{ Тл}$ .

Для подтверждения правильности расчета магнитного поля были проведены экспериментальные исследования. Режимы обработки: окружная скорость  $V_{\text{окр}} = 1,5 \text{ м/с}$ ; скорость осцилляции  $V_o = 0,2 \text{ м/с}$ ; амплитуда осцилляции  $A=2 \text{ мм}$ , напряженность  $H = 104 \text{ А/м}$ , магнитная индукция в рабочем зазоре (В) при наличии порошка: 1 –  $Fe - TiC = 1,1 \text{ Тл}$ ; 2 –  $Fe - Al_2O_3 = 0,85 \text{ Тл}$ , 3 –  $Fe - Al_2O_3 + (Ni-Co) = 0,95 \text{ Тл}$ ; коэффициент заполнения рабочего зазора  $\kappa_3=1$ ; величина рабочего зазора  $\delta = 1,2 \text{ мм}$ ; зернистость порошка  $\Delta = 160/125 \text{ мкм}$ ; СОТС – СинМА-1 (ТУ 38.5901176 - 91), 3%-водный раствор. Массовый съем металла определялся взвешиванием образцов до и после обработки на аналитических лабораторных весах ВЛТ – 1 с точностью до 0,0001г. Исследование шероховатости поверхности образцов выполнялось на профилографе-профилометре модели 252 «Калибр». Измерение магнитной индукции производилось на тесламетре Т-3. Результаты теоретических и экспериментальных исследований величины магнитной индукции в зоне *b* отличаются до 15 %, что указывает на возможность применения предложенной методики расчета магнитных полей.

На рис. 3 представлена топография магнитного поля участка *b* рабочей зоны для обработки пuhanсонов способом МАО, на котором показаны векторы магнитной индукции, вектор градиента поля, вектор сил, действующих на ферромагнитные зерна.

В результате экспериментальных исследований установили, что наибольший съем металла осуществляется порошком  $Fe - TiC$  (рис. 4 а). Графическая зависимость массового съема металла от времени обработки представлена на рис. 4 б, из которого следует, что после 15 секунд обработки зависимость  $Q=f(t)$  для исследуемых порошков носит возрастающий характер.

На рис. 5 приведены результаты исследований влияния продолжительности обработки на шероховатость поверхности. При МАО формирование микропрофиля происходит первые 15 секунд, в отличие от операции полирования. В пределах исследованного диапазона с увеличением длительности обработки шероховатость поверхности уменьшается, что обусловлено удалением исходных микронеровностей обрабатываемой поверхности ФАП.

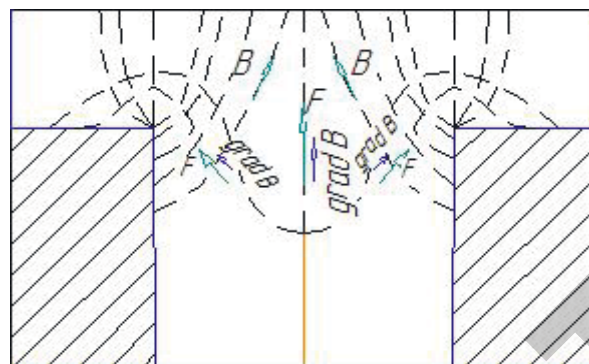


Рисунок 3. Схема топографии магнитного поля в рабочей зоне на участке *b*:

*B* – вектор магнитной индукции поля; *grad B* – вектор градиента поля; *F* – вектор сил, действующих на ферромагнитные зерна

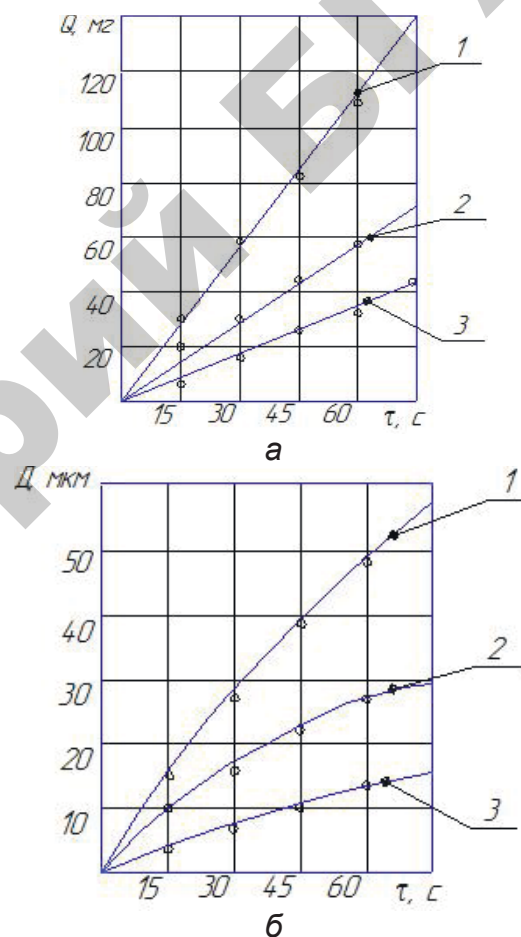


Рисунок 4. Зависимость величины массового съема металла  $Q$  (а) и размерного съема металла  $D$  (б) от времени  $t$  обработки:

(1 –  $Fe - TiC$ ; 2 –  $Fe - Al_2O_3$ ; 3 –  $Fe - Al_2O_3 + (Ni-Co)$ )

На рис. 6 представлены результаты исследования заполнения рабочей зоны ФАП на величину размерного съема металла. При степени заполнения рабочей зоны ФАП, равной 1, осуществляется реализация наибольшего съема металла.

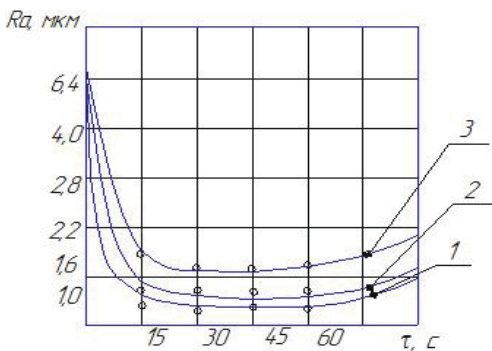


Рисунок 5. Зависимость шероховатости ( $R_a$ ) поверхности от времени ( $t$ ) обработки:  
(1 – Fe – TiC; 2 – Fe - Al<sub>2</sub>O<sub>3</sub>; 3 – Fe - Al<sub>2</sub>O<sub>3</sub> + (Ni-Co))

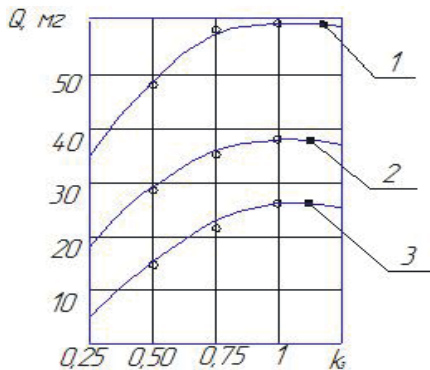


Рисунок 6. Влияние степени заполнения ( $K_3$ ) рабочей зоны ФАП на величину массового съема металла ( $Q$ ):  
(1 – Fe – TiC; 2 – Fe - Al<sub>2</sub>O<sub>3</sub>; 3 – Fe - Al<sub>2</sub>O<sub>3</sub> + (Ni-Co))

## Выводы

На основе построения и анализа топографии магнитного поля, полученных результатов экспериментальных исследований, установлены параметры магнитного поля и определены технологические

режимы магнитно-абразивной обработки стержневого сложнопрофильного инструмента, обеспечивающие при использовании порошка Fe – TiC шероховатость поверхности  $R_a = 0,32$  мкм и производительность 2 мг/с.

## ЛИТЕРАТУРА

- Иконников, А.М. Совершенствование технологии магнитно-абразивной обработки фасонных поверхностей: автореф. дис. канд. техн. наук:05.03.01 / А.М. Иконников; Алтайский политехнический институт им. Ползунова. – Барнаул, 2004 – 18 с.
- Барон, Ю.М. Магнитно-абразивная и магнитная обработка изделий и режущих инструментов / Ю.М. Барон. – Л.: Машиностроение, 1986. – 172 с.
- Yamaguchi Hitomi, Shimura Takeo, Kanuko Takehiro. Development of a new internal finishing process applying magnetic abrasive finishing by use of pole rotation system // Bull. Jap. Soc. Precis. Eng. V. – 3. – № 4, 1996. – P. 32-37.
- Dehof, A. Magnetabrasives Entgarten der Zahnstirnkanten von Zahnrädern / A. Dehof, R. Krull, W. Mattke // Werkstatt und Betrieb. – 2004 – V. 117. – S. 21-26.
- Технологические основы обработки изделий в магнитном поле / П.И. Ящерицын [и др.]; под общ. ред. П.И. Ящерицына. – Мин.: Физико-технический ин-т, 1997. – 416 с.
- Акулович, Л.М. Моделирование магнитостатических полей при магнитно-абразивной обработке деталей/ Л.М. Акулович, И.Е. Андрушкевич, Л.Е. Сергеев //Докл. II Междунар. конф. «Математическое моделирование и фундаментальные уравнения». – Мин., 2009. – С. 31-33.
- Андрушкевич, И.Е. Методы разделения переменных в волновых уравнениях / И.Е. Андрушкевич. – Новополоцк: ПГУ, 2010. – 239 с.

**Малогабаритная система очистки рабочих жидкостей гидравлических систем**

Предназначена для профилактической очистки рабочих жидкостей гидравлических приводов мобильной сельскохозяйственной техники.



**Основные технические данные**

|  |                   |
|--|-------------------|
| Производительность                         | Не менее 24 л/мин |
| Давление на входе в блок центрифугирования | 0,8 МПа           |
| Давление на входе в блок фильтрования      | 0,2-0,3 МПа       |
| Давление на выходе из блока фильтрования   | 0,15 МПа          |
| Тонкость очистки                           | 15-40 мкм         |

Применение системы позволяет при обкатке двигателей расходовать масло без остатка, не снижать качество повторно используемого моторного масла, постоянно добавляя к нему свежее товарное масло (гомогенизировать), полностью устранив расход электроэнергии, необходимой для подогрева масла, отказаться от необходимости хранения и утилизации масла. Она может применяться на ремонтно-обслуживающих предприятиях, а также непосредственно в хозяйствах для технического обслуживания машинно-тракторного парка.